

Starkniederschlagshöhen und -spenden gemäß KOSTRA-DWD-2010R

Auswertungszeitraum von 1951 - 2010, Januar - Dezember

Rasterfeld: 60030

Zeile: 60

Spalte: 30

Seite: 1/2

| Dauerstufe D | Wiederkehrzeit T | | | | | | | | | | | | | | | | | | |
|--------------|------------------|------|------------|------|------------|------|------------|------|------------|------|------------|------|------------|-------|------------|-------|------------|-------|------------|
| | 1 a | | 2 a | | 3 a | | 5 a | | 10 a | | 20 a | | 30 a | | 50 a | | 100 a | | |
| min | Std | mm | l / (s ha) | mm | l / (s ha) | mm | l / (s ha) | mm | l / (s ha) | mm | l / (s ha) | mm | l / (s ha) | mm | l / (s ha) | mm | l / (s ha) | mm | l / (s ha) |
| 5 | | 4,7 | 156,7 | 6,8 | 226,7 | 8,0 | 266,7 | 9,6 | 320,0 | 11,7 | 390,0 | 13,9 | 463,3 | 15,1 | 503,3 | 16,7 | 556,7 | 18,8 | 626,7 |
| 10 | | 7,5 | 125,0 | 10,3 | 171,7 | 11,9 | 198,3 | 13,9 | 231,7 | 16,7 | 278,3 | 19,4 | 323,3 | 21,0 | 350,0 | 23,1 | 385,0 | 25,8 | 430,0 |
| 15 | | 9,5 | 105,6 | 12,7 | 141,1 | 14,6 | 162,2 | 16,9 | 187,8 | 20,1 | 223,3 | 23,3 | 258,9 | 25,2 | 280,0 | 27,5 | 305,6 | 30,7 | 341,1 |
| 20 | | 10,9 | 90,8 | 14,5 | 120,8 | 16,5 | 137,5 | 19,2 | 160,0 | 22,7 | 189,2 | 26,2 | 218,3 | 28,3 | 235,8 | 30,9 | 257,5 | 34,5 | 287,5 |
| 30 | | 12,8 | 71,1 | 17,0 | 94,4 | 19,4 | 107,8 | 22,4 | 124,4 | 26,5 | 147,2 | 30,6 | 170,0 | 33,0 | 183,3 | 36,1 | 200,6 | 40,2 | 223,3 |
| 45 | | 14,6 | 54,1 | 19,3 | 71,5 | 22,1 | 81,9 | 25,6 | 94,8 | 30,4 | 112,6 | 35,2 | 130,4 | 38,0 | 140,7 | 41,5 | 153,7 | 46,2 | 171,1 |
| 60 | | 15,6 | 43,3 | 20,9 | 58,1 | 24,0 | 66,7 | 27,9 | 77,5 | 33,2 | 92,2 | 38,5 | 106,9 | 41,6 | 115,6 | 45,5 | 126,4 | 50,8 | 141,1 |
| 90 | | 17,4 | 32,2 | 22,9 | 42,4 | 26,2 | 48,5 | 30,2 | 55,9 | 35,7 | 66,1 | 41,2 | 76,3 | 44,4 | 82,2 | 48,5 | 89,8 | 54,0 | 100,0 |
| 120 | 2 | 18,9 | 26,2 | 24,5 | 34,0 | 27,8 | 38,6 | 32,0 | 44,4 | 37,7 | 52,4 | 43,3 | 60,1 | 46,6 | 64,7 | 50,8 | 70,6 | 56,4 | 78,3 |
| 180 | 3 | 21,1 | 19,5 | 27,0 | 25,0 | 30,4 | 28,1 | 34,7 | 32,1 | 40,6 | 37,6 | 46,5 | 43,1 | 49,9 | 46,2 | 54,2 | 50,2 | 60,1 | 55,6 |
| 240 | 4 | 22,9 | 15,9 | 28,9 | 20,1 | 32,4 | 22,5 | 36,9 | 25,6 | 42,9 | 29,8 | 48,9 | 34,0 | 52,4 | 36,4 | 56,9 | 39,5 | 62,9 | 43,7 |
| 360 | 6 | 25,6 | 11,9 | 31,8 | 14,7 | 35,5 | 16,4 | 40,1 | 18,6 | 46,4 | 21,5 | 52,6 | 24,4 | 56,3 | 26,1 | 60,9 | 28,2 | 67,2 | 31,1 |
| 540 | 9 | 28,6 | 8,8 | 35,1 | 10,8 | 38,9 | 12,0 | 43,7 | 13,5 | 50,2 | 15,5 | 56,7 | 17,5 | 60,5 | 18,7 | 65,3 | 20,2 | 71,8 | 22,2 |
| 720 | 12 | 31,0 | 7,2 | 37,6 | 8,7 | 41,6 | 9,6 | 46,5 | 10,8 | 53,1 | 12,3 | 59,8 | 13,8 | 63,7 | 14,7 | 68,6 | 15,9 | 75,3 | 17,4 |
| 1080 | 18 | 34,6 | 5,3 | 41,6 | 6,4 | 45,6 | 7,0 | 50,7 | 7,8 | 57,7 | 8,9 | 64,6 | 10,0 | 68,6 | 10,6 | 73,8 | 11,4 | 80,7 | 12,5 |
| 1440 | 24 | 37,5 | 4,3 | 44,6 | 5,2 | 48,8 | 5,6 | 54,0 | 6,3 | 61,2 | 7,1 | 68,3 | 7,9 | 72,4 | 8,4 | 77,7 | 9,0 | 84,8 | 9,8 |
| 2880 | 48 | 46,9 | 2,7 | 55,5 | 3,2 | 60,6 | 3,5 | 66,9 | 3,9 | 75,6 | 4,4 | 84,2 | 4,9 | 89,2 | 5,2 | 95,6 | 5,5 | 104,2 | 6,0 |
| 4320 | 72 | 53,5 | 2,1 | 63,0 | 2,4 | 68,6 | 2,6 | 75,6 | 2,9 | 85,0 | 3,3 | 94,5 | 3,6 | 100,1 | 3,9 | 107,1 | 4,1 | 116,6 | 4,5 |

Angaben in mm: Bemessungsniederschlagswerte h(n)

Angaben in l / (s ha): Regenspende R(n) mit $R(n) = h(n) \times 1,666667 / D[\text{min}]$

Toleranzbereiche:

+/- 10 % für $1 a \leq T \leq 5 a$

+/- 15 % für $5 a < T \leq 50 a$

+/- 20 % für $50 a < T \leq 100 a$

Datenbasis: KOSTRA-DWD-2010R des Deutschen Wetterdienstes. Die Regenspende wurde auf Basis des Bemessungsniederschlags zur jeweiligen Andauer berechnet.

Für die Richtigkeit und Aktualität der Angaben wird keine Gewähr übernommen. Erstellt 07/2022.

Starkniederschlagshöhen und -spenden gemäß KOSTRA-DWD-2010R

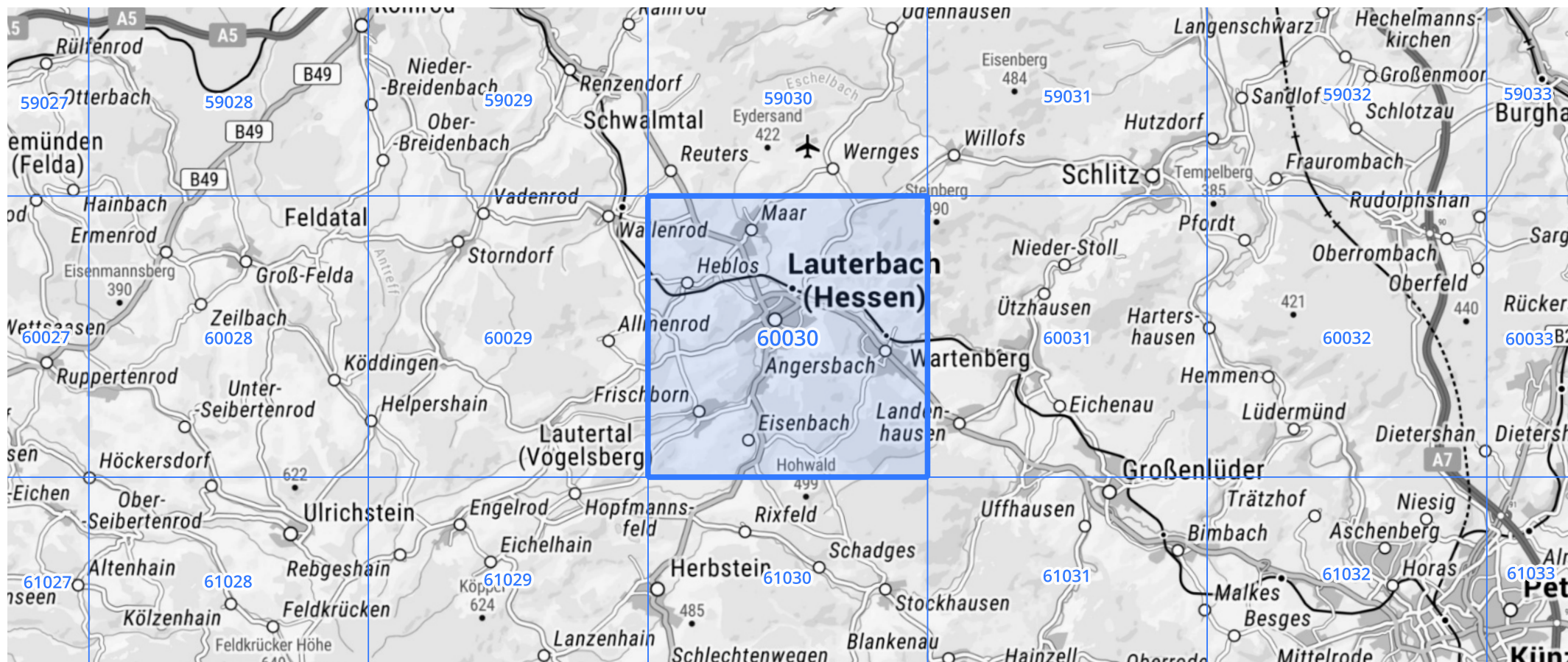
Auswertungszeitraum von 1951 - 2010, Januar - Dezember

Rasterfeld: 60030

Zeile: 60

Spalte: 30

Seite: 2/2



Quelle Rasterdaten: KOSTRA-DWD-2010R des Deutschen Wetterdienstes.

Kartendarstellung: © Bundesamt für Kartographie und Geodäsie (2022), Datenquellen: https://sgx.geodatenzentrum.de/web_public/gdz/datenquellen/Datenquellen_TopPlusOpen.html

Für die Richtigkeit und Aktualität der Angaben wird keine Gewähr übernommen. Erstellt 07/2022.